

ОСОБЕННОСТИ ЭЛЕКТРИЧЕСКИХ СВОЙСТВ ТВЕРДЫХ РАСТВОРОВ $TlIn_{1-x}Yb_xS_2(Te_2)$

М.М. ЗАРБАЛИЕВ

Азербайджанский Индустриальный Институт
373208, г. Сумгаит, 43-й квартал

Работа посвящена исследованию электропроводности, коэффициента Холла, термо-э.д.с. и холловской подвижности носителей заряда в твердых растворах систем $TlInS_2(Te_2)$ - $Tl-YbS_2(Te_2)$.

Обсуждается природа возрастания коэффициента Холла с ростом температуры и прохождение его через максимум, а также возрастание при этом значений термо-э.д.с. и электропроводности.

Введение

Одной из особенностей электрических свойств полупроводников с одним типом носителей заряда является возрастание коэффициента Холла (R_x) с температурой, которое соответствующим образом оказывает влияние на другие кинетические коэффициенты [1-5]. Однако, несмотря на внешнее сходство температурного хода $R_x(T)$, физическая природа данного явления может оказаться совершенно разной. В частности, это может быть обусловлено проводимостью по примесной зоне [1,2]; примесной зоной, расположенной в запрещенной зоне [3]; со снятием вырождения электронного газа [4]; при рассеянии на ионизированных примесях; влиянием более тяжелых зон, расположенных выше дна зоны проводимости или ниже потолка валентной зоны [5,6]; а также неквадратичным законом дисперсии носителей заряда [4,7]. Данная работа посвящена выявлению причины особенностей электрических свойств, обнаруженных в твердых растворах $TlIn_{1-x}Yb_xS_2(Te_2)$: возрастания R_x с температурой и прохождения его через максимум, завышенных значений при этом коэффициента термо-э.д.с. и электропроводности.

Результаты и их обсуждение.

Методика эксперимента подробно описана в [8].

На рис. 1 представлены кривые R_x для твердых растворов $TlIn_{1-x}Yb_xS_2(Te_2)$, на которых четко видно возрастание R_x с ростом температуры. Исследованные образцы во всем температурном интервале обладали р-типов проводимости. Для состава $TlIn_{0,98}Yb_{0,02}S_2$ возрастание R_x начинается с 625 К, по мере замещения атомов индия атомами иттербия начало температуры возрастания R_x смещается в область более высоких температур. Аналогичная зависимость $R_x(T)$ наблюдается и для твердых растворов $TlIn_{1-x}Yb_xTe_2$, в которых возрастание R_x для образца с $x=0,05$ начинается с температуры 500 К, а для $x=0,08$ – с 525 К. Как видно, в обоих случаях возрастание R_x продолжается до некоторой температуры, затем происходит резкое убывание, то есть R_x проходит через максимум, причем с ростом содержания атомов лантаноида в составе фаз максимум R_x смещается в сторону более высоких температур. Как было замечено, наблюдавшие особенности могут быть обусловлены различными причинами. Поэтому, с целью проверки пригодности той или иной модели для исследованных объектов, необходимо

ходимо более подробно раскрыть сущность каждой из перечисленных моделей.

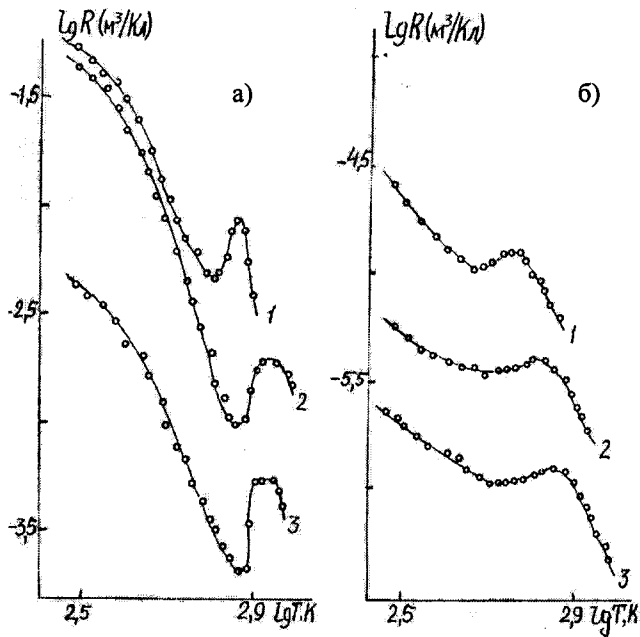


Рис. 1. Температурные зависимости коэффициента Холла твердых растворов $TlIn_{1-x}Yb_xS_2$ (а): кривые 1 – $x=0,02$; 2 – $x=0,05$; 3 – $x=0,10$
и $TlIn_{1-x}Yb_xTe_2$ (б): кривые 1 – $x=0,02$; 2 – $x=0,05$; 3 – $x=0,08$.

В работе [3] было обнаружено, что при легировании PbTe атомами индия до 1 ат.% In, концентрация электронов возрастает до ~0,07 ат.%, а дальнейшее добавление индия не приводит к росту концентрации электронов. Это отражалось на температурных и концентрационных зависимостях электрических свойств. Для объяснения данного явления авторами была предложена модель, согласно которой атомы индия в зоне проводимости PbTe создают квазилокальные уровни, с возрастанием концентрации которых образуется примесная зона. Начиная с определенной температуры, они играют роль «ловушек» для электронов проводимости, что приводит к уменьшению концентрации электронов и росту R_x , а при более высоких температурах, когда выполняется условие $kT \geq \epsilon_g$ (ϵ_g –ширина запрещенной зоны), концентрация электронов начинает расти, что и приводит к уменьшению R_x . Характерной особенностью квазилокальных уровней в зоне проводимости является то, что при достижении уровня Ферми (E_F) квазилокальных состояний, концент-

рация электронов проводимости стабилизируется, и E_F в определенном интервале температур остается постоянной. Данный механизм в случае исследованных объектов не может иметь места, поскольку растворимость примесей в них в указанном интервале имеет непрерывный характер и соответствующие уровни расположены в запрещенной зоне, а не в валентной. Концентрационная зависимость кинетических коэффициентов и уровни Ферми не обладают какими-либо аномалиями.

В работах [5,6] максимум на $R_x(T)$ объясняется наличием зоны тяжелых дырок в валентной зоне и зоны тяжелых электронов в зоне проводимости [6], расположенных на расстоянии ΔE от потолка валентной зоны или дна зоны проводимости. В этом случае роль вышележащих зон в проводимости проявляется при достаточно высоких концентрациях носителей заряда, когда уровень Ферми в зоне проводимости (или в валентной зоне) подходит близко к тяжелым зонам, осуществляется переход легких носителей в тяжелые зоны, что приводит к уменьшению концентрации носителей заряда и росту R_x . При дальнейшем повышении температуры уровень Ферми входит в тяжелые зоны, происходит выравнивание уровней Ферми в обеих зонах и в некотором интервале температур стабилизируется E_F , $n(T)$ и $R_x(T)$. Только с наступлением собственной проводимости начинает происходить изменение этих параметров и других кинетических коэффициентов. Если собственная проводимость наступает не при очень высоких температурах, то кривая $R_x(T)$ проходит через острый максимум. Казалось, что эта модель может описать и наши данные. Но, во-первых, в исследованных кристаллах уровень Ферми во всем исследованном интервале температур и концентраций не выходит из запрещенной зоны, то есть вырождение носителей заряда не наступает. Во вторых, сведения о наличии подобной зоны в валентных зонах $TlInS_2$ и $TlInTe_2$ отсутствуют.

Имеются данные о возрастании R_x с температурой и в узкозонных полупроводниках [6,7], в которых обращено внимание на влияние сильной непарabolичности зоны проводимости на Холл фактор $R_x(T) = A_x/(e\mu)$. Количественными расчетами показано [6,7], что в случае рассеяния электронов на акустических фонах, A_x сильно зависит от степени непарabolичности $\beta = k_0 T / \epsilon_g$ и температурной зависимости $\epsilon_g(T)$. В определенном сочетании этих параметров значения A_x и R_x , при рассеянии электронов на акустических фонах, растут с температурой и с наступлением собственной проводимости уменьшаются, проходя через максимум. Следует подчеркнуть, что предложенная модель не может быть применена к нашим кристаллам, так как исследуемые кристаллы являются широкозонными.

В [1,2] было показано, что в кристаллах GaAs и InP с $n \approx 10^{17}$ см⁻³ вследствие наличия проводимости в примесной зоне, расположенной вблизи дна зоны проводимости и в запрещенной зоне, на температурной зависимости $R_x(T)$ при $T < 100$ К наблюдалось возрастание R_x и прохождение его через максимум. В то же время, в образцах с $n \geq 10^{18}$ см⁻³ во всем интервале температур (2-300 К) R_x оставался постоянным. Механизм прохождения R_x через максимум описывается следующим образом: донорные уровни, расположенные на энер-

гетическом расстоянии ΔE от дна зоны проводимости ведут себя как «ловушки» собственных электронов и в интервале температур, когда уровень Ферми входит в эту зону, происходит процесс «прилипания» электронов. При достаточно большой концентрации таких уровней образуется примесная зона, в которой осуществляется проводимость. При этом происходит уменьшение концентрации, что приводит к возрастанию R_x . С дальнейшим повышением температуры происходит насыщение примесных уровней, а при достижении условия $kT \geq \Delta E$ начинается «испарение» электронов с этих уровней в зону проводимости, то есть возрастание концентрации носителей заряда и уменьшение R_x . При этом проявляются ряд других эффектов. В частности, в кристаллах типа A^3B^5 с высокими подвижностями электронов наблюдается отрицательное магнитосопротивление $-\Delta\rho$ и прохождение его $-\Delta\rho(B)$ через максимум.

При высоких концентрациях примесей зона расщепляется, примесные уровни приближаются к дну зоны проводимости, сливаются с ней и исчезают все наблюдаемые особенности.

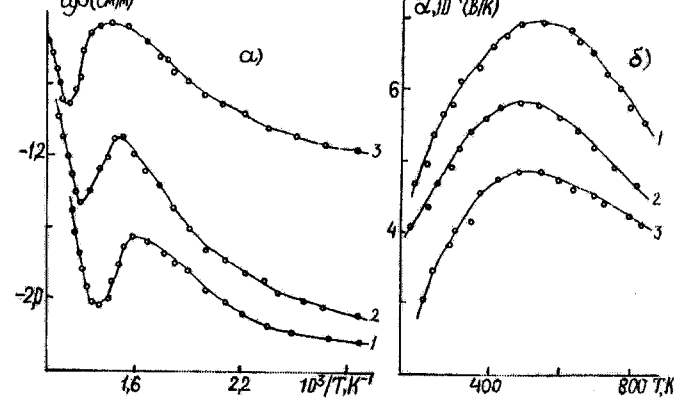


Рис. 2. Температурные зависимости электропроводности (а) и термо-э.д.с. (б) твердых растворов $TlIn_{1-x}Yb_xS_2$: кривые 1 – $x = 0,02$; 2 – $x = 0,05$; 3 – $x = 0,10$.

Итак, из перечисленных моделей, описывающих наблюдаемые особенности электрических свойств, наиболее приемлемой для исследованных в данной работе материалов, является последняя. В этих кристаллах ширина

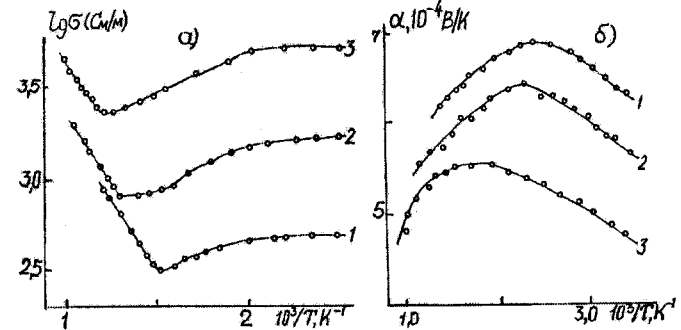


Рис. 3. Температурные зависимости электропроводности (а) и термо-э.д.с. (б) твердых растворов $TlIn_{1-x}Yb_xTe_2$: кривые 1 – $x = 0,02$; 2 – $x = 0,05$; 3 – $x = 0,08$.
запрещенной зоны достаточно велика, концентрация носителей заряда для исходных кристаллов мала, они легко легируются и небольшие отклонения от стехиометрии

также создают акцепторные уровни. Для подтверждения наличия в них акцепторной зоны были проанализированы кривые $R_x(T)$, $\alpha(T)$ и $\sigma(T)$ (рис. 2,3). По спадающей части максимума R_x была вычислена ширина запрещенной зоны. В [1,2,6,7] показано, что по возрастающей части максимума, носящей также активационный характер, можно вычислить энергетический зазор между примесной зоной и потолком валентной зоны (или дном зоны

проводимости). В тройном соединении $TlInS_2$ и в твердых растворах на его основе $TlIn_{1-x}Yb_xS_2(Te_2)$ для энергии активации примесных уровней были получены значения $0,2 \pm 0,06$ эВ, которые хорошо согласуются со значениями, полученными на основании данных электрических свойств в сильных электрических полях [8,9].

Автор благодарит профессора С.А. Алиева за ценные советы при обсуждении результатов.

- [1] С.А. Алиев, Ф.П. Кесаманлы, Т.С. Лагунова и Д.Н. Наследов. Phys. Stat. Sol., 1966, 17, 105.
- [2] О.В. Емельяненко, Т.С. Лагунова, Д.Н. Наследов и Г.В. Талалакин. ФТП, 1965, 7, с. 1315.
- [3] А.А. Аверкин, В.И. Кайданов, Р.Б. Мельник. ФТП, 1971, 5, в. 1, с. 91.
- [4] Б.М. Аскеров. В кн. «Кинетические эффекты в полупроводниках», М., «Наука», 1970, с. 303.
- [5] А.А. Андреев, В.Н. Радионов. ФТП, 1967, т.1, в.1, с.183.
- [6] С.А. Алиев, Д.А. Багиров, С.А. Зейналов. Неорганические материалы, 1988, т.24, с. 1212.
- [7] С.А. Алиев, А.А. Мовсумзаде, С.С. Рагимов. Fizika, 1998, с. 4, № 1, с. 8-10.
- [8] М.М. Зарбалиев. Fizika, 1997, с. 3, № 3, с. 30-32.
- [9] М.М. Зарбалиев, Э.М. Годжасаев, В.А. Гаджиев. Неорганические материалы, 1980, т.16, №11, с.929-1931.

М.М. Zarbaliyev

TlIn_{1-x}Yb_xS₂(Te₂) TƏRKİBLİ BƏRK MƏHLULLARIN ELEKTRİK XASSƏLƏRİNİN XÜSUSİYYƏTLƏRİ

İş $TlInS_2(Te_2)$ - $Tl-YbS_2(Te_2)$ sistemlərinin bərk məhlullarının elektrik keçiriciliyi, Holl və termo-e.h.q. əmsallarının və yüksəyişicilərinin Holl yürüklüklerinin tədqiqinə həsr olunmuşdur.

Holl əmsalının temperatur yüksəldikcə artması və onun maksimumdan keçməsinin, həmçinin bu zaman termo-e.h.q. və elektrik keçiriciliyinin yüksəlmiş qiymətə malik olmalarının səbəbləri təhlil olunmuşdur.

M.M. Zarbaliyev

SINGULARITIES OF ELECTRICAL PROPERTIES OF SOLID SOLUTIONS TlIn_{1-x}Yb_xS₂(Te₂)

This work is devoted to the analysis of electric conductivity, Hall coefficient, thermoelectromotive force and Hall mobility of charge carriers of solid solutions $TlInS_2(Te_2)$ - $Tl-YbS_2(Te_2)$. It is discussed the nature of the Hall coefficient increase with temperature increase and its passage through maximum and also the increase of thermoelectromotive force and electric conductivity values.